

SrBPO₅: Ce³⁺ 的 VUV 光谱 *

梁宏斌¹ 张剑辉¹ 初本莉¹ 梁利芳¹
苏 锋^{1,2;1)} 陶 冶³ 徐建华³ 黄 艳³

1 (中山大学光电材料及应用国家重点实验室, 化学与化学工程学院 广州 510275)

2 (中国科学院长春应用化学研究所中国科学院稀土化学与物理重点实验室 长春 130022)

3 (中国科学院高能物理研究所同步辐射实验室 北京 100039)

摘要 研究了 Ce³⁺ 离子激活的 SrBPO₅ 在 130—400 nm 波长范围的光谱性质。在 VUV 激发光谱上指认了 Ce³⁺ 的 5 个 4f¹→4f⁰5d¹ 跃迁激发带。发现在 SrBPO₅ 中 Ce³⁺ 的 5d 轨道能级重心位于 43.2 × 10³ cm⁻¹, 这在氧化物基质中是比较高的。此外, 还报道和讨论了 SrBPO₅ 的基质吸收带和 Ce³⁺ 的 5d 轨道在 SrBPO₅ 中的晶体场劈裂及 SrBPO₅: Ce³⁺ 在 VUV-UV 激发下的发射光谱。

关键词 发光 硼磷酸锶 钇 真空紫外光谱

1 引言

稀土离子宇称允许的 f-d 跃迁在发光过程中起重要作用。例如, 在可用于汞灯的绿色荧光粉 LaPO₄: Ce³⁺, Tb³⁺, CeMgAl₁₁O₁₉: Tb³⁺ 和 GdMgB₅O₁₀: Ce³⁺, Tb³⁺ 等中, Ce³⁺ 离子就是通过 f-d 跃迁吸收汞蒸气放电产生的 254 nm 的紫外发射, 并把吸收的能量传递给 Tb³⁺ 离子, 使其产生绿色发光的^[1,2]。SrBPO₅ 基质中稀土离子的 f-d 跃迁及其应用也已有研究, Blasse^[3]首先报道了 Eu²⁺ 离子在 SrBPO₅ 中通过 f-d 跃迁产生的紫色发射。2000 年, Karthikeyani^[4]发现 SrBPO₅: Eu²⁺ 的 X 射线存储性质, 其光谱特性和广泛使用的 BaFBr: Eu²⁺ 相近。此外, 研究 SrBPO₅: Eu²⁺ 的光激励发光性质还发现它可能用作中子成像材料^[5]。Ce³⁺ 和 Eu²⁺ 的所有这些性质和应用都是基于其 4f-5d 跃迁的。

在探寻适于 PDP(等离子体显示平板)和无汞荧光灯的新型稀土荧光粉方面, 4f-5d 跃迁显然也是非常重要的。一些因素如配位阴离子性质、配位数、稀土离子的格位对称性和次邻近阳离子性质等因素都对稀土离子的 5d 能级能量有影响。所以研究在

不同基质中稀土离子的 5d 能级对探寻新型稀土荧光粉是非常有用和有帮助的。SrBPO₅ 属于 stillwellite 型化合物, 为三角晶系 P3₁21 群, Sr²⁺ 离子占据 10 配位的 C₂ 对称性格位, 其阴离子为 BO₄⁵⁻ 和 PO₄³⁻ 结构^[6]。本文报道 Ce³⁺ 离子在 SrBPO₅ 中的 f-d 跃迁。

2 实验

Ce³⁺ 离子激活的 SrBPO₅ 利用高温固相反应在 CO 气氛中合成, 合成原料为化学计量比的分析纯的 SrCO₃, H₃BO₃(过量 3 mol % 以补偿在加热过程中的蒸发损失), NH₄H₂PO₄, Na₂CO₃ 和 99.9% 的 CeO₂。由于 Ce³⁺ 离子占据不等价态的 Sr²⁺ 离子格位, 同时掺入 Na⁺ 离子作为电荷补偿离子。Ce³⁺ 离子和 Na⁺ 离子的浓度均为 0.2 mol %。反应混合物充分研磨后首先在 400 °C 下预烧 4 h, 待重新研磨后在 1000 °C 下加热 4 h。合成样品 Sr_{0.96}Ce_{0.02}Na_{0.02}BPO₅ 的 XRD 分析结果证实其为单相, 衍射数据与 JCPDS18-1270 (SrBPO₅)一致。

样品的 VUV 激发光谱和相应的发射光谱均在北京同步辐射装置(BSRF) VUV 光谱实验站利用其

* 国家重点基础研究规划(G1998061312), 国家自然科学基金(20171046), 广东省自然科学基金(001277), 教育部博士点基金(20020558034)资助

1) E-mail: cesbin@zsu.edu.cn, cedc25@zsu.edu.cn

3B1B 光束线在正常测定条件(2.2 GeV, ~100 mA)下测定。

3 结果与讨论

293 K 下监测 Ce³⁺ 位于 320 nm 的发射时, 测得样品 Ca_{0.96}Ce_{0.02}Na_{0.02}BPO₅ 的激发光谱如图 1 所示。在图 1 中可以看到 6 个激发带, 其位置在图 1 中分别用 A(272 nm), B(255 nm), C(241 nm), D(218 nm), E(190 nm) 和 H(148 nm) 标示。

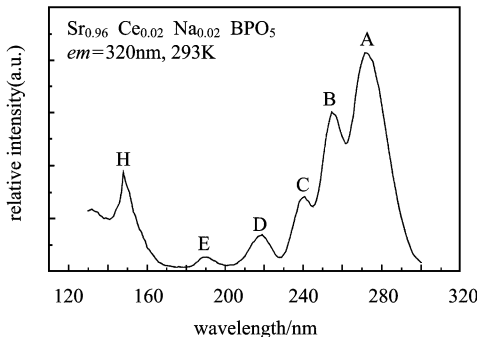


图 1 293 K 时样品 Sr_{0.96}Ce_{0.02}Na_{0.02}BPO₅ 的激光发谱

由于 Ce³⁺ 离子在 SrBPO₅ 中(只)占据(1种)低对称性的 C₂ 格位, 其 5 个 d 轨道完全解除简并。因而在 SrBPO₅ 中可观察到 Ce³⁺ 离子 5d 能级晶体场劈裂后的 5 个 d 轨道。我们认为在图 1 中, A, B, C, D 和 E 等 5 个激发带分别对应 Ce³⁺ 离子在 SrBPO₅

中晶体场劈裂后的 5 个 d 轨道;而位于 148 nm 的激发带 H 为 SrBPO₅ 的基质吸收带。2003 年 Dorenbos 等^[7]报道了 12 K 时 Ce³⁺ 在 CaBPO₅ 中的 VUV 激发光谱。他们发现在 CaBPO₅ 中 Ce³⁺ 的 5 个 d 轨道分别位于 286, 258, 238, 210 和 194 nm; CaBPO₅ 的基质吸收带能量为 8.25 eV(即 ~150 nm)。为便于比较, 文献^[7]报道的 Ce³⁺ 在 CaBPO₅ 的光谱数据和本文观察到的 Ce³⁺ 在 SrBPO₅ 的光谱数据一并列于表 1 中。

CaBPO₅ 和 SrBPO₅ 结构相同^[6,8], M²⁺ (M = Ca, Sr) 离子均占据 10 配位的 C₂ 格位。由于离子半径 Ca²⁺ < Sr²⁺, 所以当 Ce³⁺ 离子进入 Sr²⁺ 离子格位时, Ce—O 键长较大, 其共价性较进入 Ca²⁺ 离子格位时共价性减小, 即 Ce³⁺ 离子在 CaBPO₅ 基质中的电子云扩大效应较强。因而与在 SrBPO₅ 中相比, Ce³⁺ 在 CaBPO₅ 基质中有较低的 5d 轨道能级重心^[9]。类似的情况也可以在如文献[10,11]报道的 Ce³⁺ 在 MF₂ (M = Ca, Sr) 和 RPO₄ (R = Y, Lu) 的光谱结果中看到: 在 CaF₂ 和 SrF₂ 中阳离子均占据 9 配位的 C_{4v} 格位, 而离子半径 Ca²⁺ < Sr²⁺; 与自由离子状态相比, Ce³⁺ 在 CaF₂ 中 5d 轨道重心下降 7350 cm⁻¹, 而在 SrF₂ 中 5d 轨道重心下降 7260 cm⁻¹。在 RPO₄ (R = Y, Lu) 中 R³⁺ 均占据 8 配位的 D_{2d} 格位, 离子半径 Lu³⁺ < Y³⁺; Ce³⁺ 在 LuPO₄ 中 5d 轨道重心比在自由离子状态下降 9670 cm⁻¹, 在 YPO₄ 中比自由离子状态下降 9570 cm⁻¹。

表 1 MBPO₅: Ce³⁺ (M = Ca, Sr) 的光谱数据

| 发光体 | 最低 d 轨道 / nm | 第二 d 轨道 / nm | 第三 d 轨道 / nm | 第四 d 轨道 / nm | 最高 d 轨道 / nm | 5d 轨道能级重心 / 10 ³ cm ⁻¹ | 5d 轨道晶体场劈裂 / 10 ³ cm ⁻¹ | 基质吸收带 / nm | 文献 |
|-------------------------|--------------|--------------|--------------|--------------|--------------|--|---|------------|----|
| CaBPO ₅ : Ce | 286 | 258 | 238 | 210 | 194 | 43.0 | 16.6 | 150 | 7 |
| SrBPO ₅ : Ce | 272 | 255 | 241 | 218 | 190 | 43.2 | 15.9 | 148 | 本文 |

在一般氧化物基质中, Ce³⁺ 离子的 5d 轨道能级重心通常位于大约 35 × 10³ cm⁻¹ 左右^[9], 而在本文研究的 SrBPO₅ 中, Ce³⁺ 的 5d 轨道重心 (43.2 × 10³ cm⁻¹) 明显高于该能量。SrBPO₅ 中 Ce³⁺ 的 5d 轨道重心较高与基质结构特点有关: 在 SrBPO₅ 中, 所有 O²⁻ 原子都以 BO₄⁵⁻ 和 PO₄³⁻ 刚性四面体形式与 B³⁺ 或 P⁵⁺ 原子结合, 这种结构降低了 Ce—O 键的共价性, 所以 Ce³⁺ 的电子云扩大效应减小, 导致 Ce³⁺ 的 5d 轨道能级重心明显高于在一般氧化物基质中的数值。这与文献[9]报道的 Ce³⁺ 在 La₃F₃[Si₃O₉]: Ce³⁺ 中的光谱类似, 在 La₃F₃[Si₃O₉] 中所有 O²⁻ 原

子与 Si⁴⁺ 原子结合, 6 个 O²⁻ 原子形成扭曲的三棱柱结构, 3 个 F⁻ 和另外 2 个 O²⁻ 共面并与三棱柱以直角相交; 由于所有 O²⁻ 原子都参与形成 [Si₃O₉]⁶⁻ 阴离子, Ce—O 键的共价性较低, 导致 Ce³⁺ 在 La₃F₃[Si₃O₉]: Ce³⁺ 中的 5d 轨道重心较高 (43.2 × 10³ cm⁻¹)。

比较我们实验所得的 Ce³⁺ 离子在 SrBPO₅ 中的晶体场劈裂与文献^[7] 报道的在 CaBPO₅ 中的晶体场劈裂数值, 可以发现在 SrBPO₅ 中 Ce³⁺ 的晶体场劈裂较小 (15.9 × 10³ cm⁻¹)。这显然与基质结构有关: 当 Ce³⁺ 离子进入取代 M²⁺ (M = Ca, Sr) 离子的

格位时,由于 Ca^{2+} 离子半径较小,因而在 CaBPO_5 中 Ce^{3+} 离子受晶体场影响较大,所以有较大的晶体场分裂能($16.6 \times 10^3 \text{ cm}^{-1}$). 反之,当 Ce^{3+} 离子进入较大的 Sr^{2+} 离子格位时,受晶体场影响较小,有较小的晶体场分裂能. 这与文献[12,13]报道的其它相同结构基质中阳离子半径对 Ce^{3+} 晶体场劈裂的影响一致,如前面提到的 YPO_4 和 LuPO_4 具有相同结构,在 LuPO_4 中 Ce^{3+} 的5个d轨道能量^[12]分别为31000, 39800, 42000, 44500和50500 cm^{-1} , 晶体场劈裂 $19.5 \times 10^3 \text{ cm}^{-1}$;而在 YPO_4 中^[13]分别为30700, 40100, 41800, 43700和49000 cm^{-1} , 晶体场劈裂 $18.4 \times 10^3 \text{ cm}^{-1}$. Ce^{3+} 在 YPO_4 中的晶体场劈裂比在 LuPO_4 中小大约 1000 cm^{-1} .

实验所得 SrBPO_5 基质吸收带能量和文献[7]报道的 CaBPO_5 基质吸收带能量接近.

图2分别给出了直接激发 Ce^{3+} 离子位于258 nm的f-d跃迁和通过147 nm的基质吸收带激发样品 $\text{Sr}_{0.96}\text{Ce}_{0.02}\text{Na}_{0.02}\text{BPO}_5$ 时得到的发射光谱. 在VUV-UV光激发下均可观察到 Ce^{3+} 的发射, Ce^{3+} 的发射由320 nm附近的宽带和其长波一侧的肩带构成(图2曲线a和b). 对曲线b的发射通过两个

Gauss函数进行分峰拟合,所得分峰和拟合曲线c,d和e也示于图2中. 分峰所得的两个发射带中心分别位于316和335 nm附近,这两个发射带相当于同一格位上 Ce^{3+} 的 $5d \rightarrow ^2F_J(J=7/2, 5/2)$ 跃迁. 从图2还可以看到,通过基质吸收带激发样品时所得发射光谱可以观察到 Ce^{3+} 的发射,但它比相同条件下直接激发 Ce^{3+} 的f-d跃迁时所得的发射要弱,说明在基质和 Ce^{3+} 离子间存在能量传递但这种传递不是非常有效的.

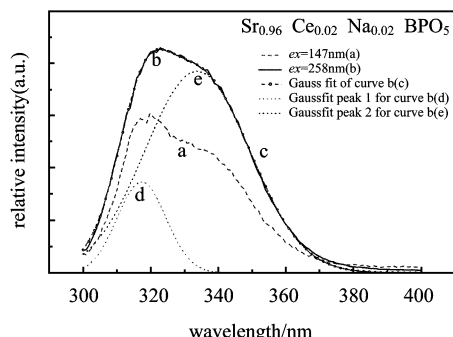


图2 293 K时样品 $\text{Sr}_{0.96}\text{Ce}_{0.02}\text{Na}_{0.02}\text{BPO}_5$ 的发射光谱

参考文献 (References)

- 1 Blasse G, Grabmaier B C. Luminescent Materials. Berlin: Springer-Verlag, 1994, 119—122
- 2 Shionoga S, YEN W M. Phosphor Handbook. Boston: CRC Press, 1999, 359—444
- 3 Blasse G, Bril A, Vries J et al. J. Inorg. Nucl. Chem., 1969, **31**: 568—570
- 4 Karthikeyani A, Jagannathan R J. Lumin., 2000, **86**: 79—85
- 5 Sakasai K, Katajiri M, Toh K et al. Appl. Phys. A, 2002, **74** (Suppl.): S1589—S1591
- 6 PAN S, WU Y, FU P et al. Chem. Mater., 2003, **15**: 2218—2221
- 7 Dorenbos P, Pierron L, Dinca L et al. J. Phys. C, 2003, **15**: 511—520
- 8 Kniep R, Gozal G, Eisenmann B et al. Angew. Chem. Int. Ed. Engl., 1994, **33**(7): 749—751
- 9 Oskam K D, Kaspers K A, Meijerink A et al. J. Lumin., 2002, **99**: 101—105
- 10 Dorenbos P. Phys. Rev. B, 2000, **62**(3): 15640—15649
- 11 Dorenbos P. Phys. Rev. B, 2001, **64**(12): 125117
- 12 Williams G M, Edelstein N, Boatner L A et al. Phys. Rev. B, 1989, **40**(15): 4143—4152
- 13 Pieterson L, Reid M F, Wegh R T et al. Phys. Rev. B, 2002, **65**: 045113

VUV Spectrum of SrBPO₅: Ce³⁺ *

LIANG Hong-Bin¹ ZHANG Jian-Hui¹ CHU Ben-Li¹ LIANG Li-Fang¹
SU Qiang^{1, 2;1)} TAO Ye³ XU Jian-Hua³ HUANG Yan³

1 (State Key Laboratory of Optoelectronic Materials and Technologies, School of Chemistry
and Chemical Engineering, Sun Yat-sen University, Guangzhou 510275, China)

2 (Key Laboratory of Rare Earth Chemistry and Physics, Changchun Institute of Applied Chemistry, CAS, Changchun 130022, China)

3 (Laboratory of Beijing Synchrotron Radiation, Institute of High Energy Physics, CAS, Beijing 100039, China)

Abstract The spectroscopic properties of SrBPO₅ doped with Ce³⁺ ions are investigated in 130—400 nm wavelength region. The bands corresponding to the 4f¹→4f⁰5d¹ transitions of Ce³⁺ in the host lattices are identified. The barycenter of Ce³⁺ in the host lattice is found at 43.2×10³ cm⁻¹, which is relative higher for Ce³⁺ in oxide hosts. In addition, the host absorption and the crystal field splitting as well as the emission of SrBPO₅: Ce³⁺ under VUV-UV excitation are presented and discussed.

Key words luminescence, strontium borophosphate, cerium, vacuum ultraviolet spectrum

* Supported by State Key Project of Basic Research of China(G1998061312) NSFS(20171046), Guangdong Provincial Natural Science Foundation (001277) and Doctorial Training Base Foundation of Ministry of Education of China (20020558034)

1) E-mail: cesbin@zus.edu.cn, cedc25@zsu.edu.cn